

技術報告

OG 炉圧制御への最適制御理論の適用

井上 敏夫*・福本 武也**・川合 成治***

吉井 賢太*・立花 勲*

An Application of the Optimal Control Theory to the OG Pressure Control System

Toshio INOUE, Takeya FUKUMOTO, Shigeharu KAWAI,
Kenta YOSHII and Tsuyoshi TACHIBANA

Synopsis:

In the OG pressure control system equipped by only PI controller, there existed the problem that was very slow to respond to violent process fluctuations. The optimal control method was applied to improve this problem. Instead of installing another new sensing device, the existing sensing facilities were used and modification was made on the process variables which were measured by them. The higher controllability was achieved by means of the compensation of the delay time of the PI controller by identifying the process characteristics using higher differential equations.

In this paper, the new control system achieved by the method mentioned above is described. It is clearly indicated that the new method is very helpful in obtaining a high rate of LDG recovery.

1. 緒 言

代表的製鋼法である純酸素吹転炉法では、吹鍊過程で溶銑の脱炭反応および不純物の酸化反応により、COガスを主成分とした大量の吹鍊生成ガス（以下LDGという）を発生する。このLDGの処理方法は、ガスを燃焼させる廃熱ボイラ方式から、最近では排ガス未燃焼回収法の一つであるOG(Oxygen Converter Gas Recovery)方式へと移行している。OGとは転炉炉口からの空気の流入を抑制し、LDGを未燃焼のまま冷却・回収する方式である。

このOG設備によるガスエネルギー回収量は年産600万tの転炉工場で約 12×10^{11} kcal/yにも達する。したがつて、このガスエネルギーを回収し有効に利用すれば、製鉄所における購入燃料の低減が図れる。ガス回収量の向上を図るには炉内圧力（以下 P_0 という）の制御をきめ細かく行うことが必要である。

従来はPI制御によりPAダンパの開閉を行い、 P_0 の制御を実施してきたが、吹鍊条件の変化や副原料投入等の外乱に対し、十分な追従が得られない問題点があつた。筆者らはこの改善策として最適制御理論を用いた制

御方式を採用し、制御性の向上・ガス回収の向上をはかつた。

本報では、その制御方式、制御システム構成の概要および実操業データについて報告する。

2. OG プロセスの概要

OG設備と P_0 制御の概要をFig. 1に示す。ランスより供給される吹鍊用の酸素は、転炉内で溶銑中のC, Si, P, S等鋼にとつては不純物な元素を酸化・除去する。この反応で炉内より発生したLDGは高温かつ多量のダストを含んでいるため、フード部で冷却し、さらに一次集塵器(1 DC), 二次集塵器(2 DC)にて集塵・冷却して、誘引送風機(IDF), 回収弁を経てガスホルダに回収される。可燃性ガスを大量に回収するため、制御装置には各種の条件が必要で、その制約条件が満たされないとときは装置保護の立場から発生ガスは煙突より燃焼放散させる。

さて、 P_0 制御の方法は炉口の圧力 P_0 をスカート上部付近で検出し、圧力調節計によつて2DCダンパを操作することにより実施している。操業は P_0 が大気圧 P_a に等しくなるよう行われ、 $P_0 > P_a$ となればLDGが

昭和58年11月14日受付(Received Nov. 14, 1983)

* (株)神戸製鋼所加古川製鉄所(Kakogawa Works, Kobe Steel, Ltd., 1 Kanazawa-cho Kakogawa 675-01)

** 富士電機製造(株)東京工場(Tokyo Factory, Fuji Electric Co., Ltd.)

*** 富士ファコム制御(株)第1システム開発システム研究課(First Systems Development Dept. Systems Research Section Fujifacom Co.)

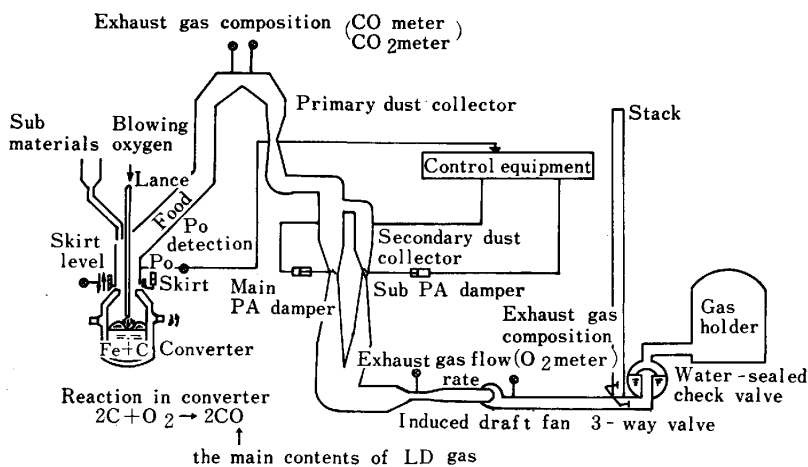


Fig. 1. An outline of OG process and P_0 control.

外部に噴出されて回収量が低下する。逆に $P_0 < P_a$ となれば炉口から空気を吸い込み CO ガスが燃焼して CO₂ ガスとなり、ガスカロリーが低下する。このため、 P_0 制御は追従性の良い制御が要求される。

3. PI 制御の問題点

従来の P_0 制御はアナログ調節計による PI 制御で行われてきたが、次のような問題点があつた。

転炉プロセスでは

- (1) 炉口とスカートの間隔が変化する
- (2) 副原料の投入量、投入時期および投入方法が異なる
- (3) 吹鍊 O₂ 流量やランス高さ制御が変わる
- (4) スロッピングの有無
- (5) IDF サクションダンパーによる排ガス流量制御等があり、これが P_0 制御系の外乱となりプロセスゲインが変化する。このプロセスゲインの変化の要因としては、(1) 項の炉口とスカートの間隔が変化することが最も大きい。スカート高さとプロセスゲインの変動量の関係を各種実験により定量的に把握した。その結果を Fig. 2 に示す。図によればスカート高さが 450 mm の時と 200 mm の時では、ゲインが 0.15 から 0.6 に変化していることがわかる。したがつて、PI 調節計のゲインも炉口の開孔面積に適応させるのが望ましい。しかし、炉口の開孔面積は炉口への地金の付着により操業中でも変化し、それを定量的に計測することは困難である。従来は開孔面積が最も小さい時に安定した制御ができるよう調節計のゲインを低く設定していた。それゆえに、PI 制御では応答速度を速くできない制御性の悪い設備であつた。また、副原料投入時等に発生ガスが急激に変化した時には、炉口よりのガスの吹き出しを防止するためにオペレータの P_0 設定値変更の操作が必要と

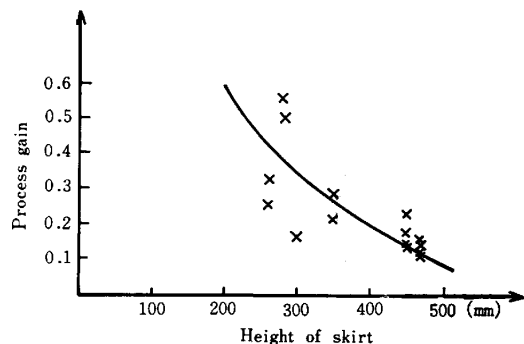


Fig. 2. Relation between process gain and height of skirt.

なつていた。

筆者らはこの PI 制御の問題点の解決を図るために、最適制御理論を用いた計装システムを導入した。

4. 最適制御の導入

4.1 最適制御の考え方

最適制御理論を実プロセスに適用する方法として、従来の PI 制御ループを取り除いて新しく最適制御を導入する方法と、PI 制御ループをそのまま残した状態で最適制御を付加する方法がある。筆者らは後者を採用し、システム設計はプロセスの計測点を増設することなく、 P_0 計測のみで実施した。

本制御システムの基本的な考え方を Fig. 3 のブロック線図に従つて説明する。

親ダンパ、子ダンパの動特性を無駄時間 + 1 次遅れ、配管内の圧力伝播特性を 1 次遅れで近似し、これらを合わせたものすなわち図中の一点鎖線の枠内の部分を OG のプロセスモデルと考える。このプロセスに対し従来の PI 制御による P_0 制御を行う。そして、OG プロセスと PI 制御ループを合わせたブロックすなわち図中の破線の枠内の部分を新しいプロセスとみなし、このプロセ

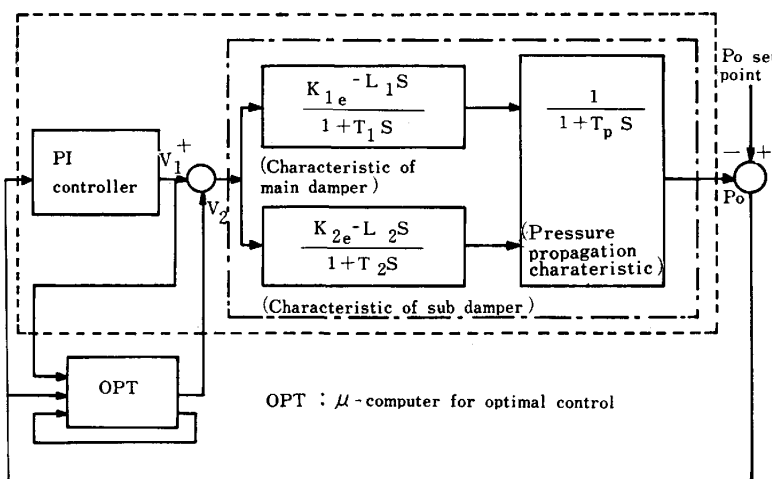


Fig. 3. Block diagram of P_o control system using optimal control.

スに最適制御を適用する。すなわち、PI制御で生じた制御偏差に対し、最適制御はこの制御偏差をさらに小さくするようにはたらく。

4.2 プロセス特性の同定

最適制御式の係数を求めるにはプロセス特性の同定を行わねばならない。Fig. 3における親ダンパーと子ダンパーの伝達関数において、 T_1 と T_2 、 L_1 と L_2 はそれぞれ近似するため $T_1 = T_2 = T_M$ 、 $L_1 = L_2 = L$ と考え、 $K_1 + K_2 = K_P$ とおくとその合成伝達関数は $K_P e^{-LS} / (1 + T_M S)$ となる。したがつて配管部の伝達関数は $1 / (1 + T_P S)$ であるからプロセスの総合伝達関数 $F(S)$ は

$$F(S) = \frac{K_P e^{-LS}}{1 + T_M S} \cdot \frac{1}{1 + T_P S} \quad \dots \dots \dots (1)$$

となる。

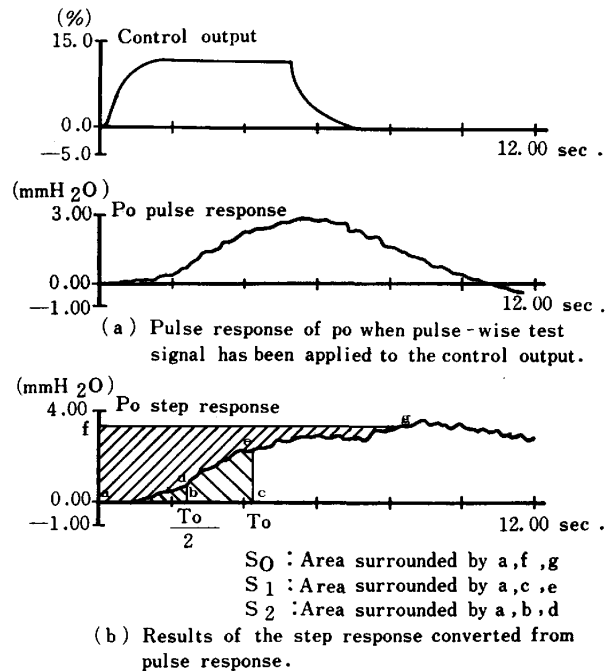
プロセス特性の同定は実操業中に制御器出力にパルス状の試験信号を印加し、その応答波形を解析することにより行う。OG設備の場合はすでに述べたように外乱が多発するため、制御系の同定にはこれらの外乱の影響を受けにくい特性面積法¹⁾を用いた。すなわち、Fig. 4-(a)に示す系のパルス応答波形を測定し、これを図の合成によつてステップ応答に変換し、Fig. 4-(b)を得る。この応答波形により囲まれる S_0 、 S_1 、 S_2 とプロセスパラメータ K_P 、 T_M 、 T_P 、 L の関係を求めるところとなる。

いま、ステップ関数を $U(S) = A/S$ とすれば、系の出力 $P_o(S)$ は

$$P_o(S) = \frac{K_P e^{-LS}}{1 + T_M S} \cdot \frac{1}{1 + T_P S} \cdot \frac{A}{S} \quad \dots \dots \dots (2)$$

となる。上式を変形して

$$P_o(S) = K_P A e^{-LS} \left\{ \frac{1}{S} + \frac{T_M}{T_P - T_M} \cdot \frac{1}{S + 1/T_M} + \frac{T_P}{T_M - T_P} \cdot \frac{1}{S + 1/T_P} \right\} \quad \dots \dots \dots (3)$$



(b) Results of the step response converted from pulse response.

Fig. 4. Identification by characteristic area method.

を得る。

ここで上式のむだ時間要素 e^{-LS} を除いた式について逆変換すると、

$$\hat{P}_o(t) = K_P A \left\{ 1 + \frac{T_M}{T_P - T_M} e^{-1/T_M \cdot t} + \frac{T_P}{T_M - T_P} e^{-1/T_P \cdot t} \right\} \quad \dots \dots \dots (4)$$

となる。特性面積法により Fig. 4-(b) の図中の面積 S_0 、 S_1 、 S_2 および遅れ時定数 T_0 は次のようになる。

$$S_0 = A \cdot K_P (T_M + T_P + L) \quad \dots \dots \dots (5)$$

$$S_1 = \int_0^{T_0} P_o(t) dt \quad \dots \dots \dots (6)$$

$$S_2 = \int_0^{1/2 \cdot T_0} P_o(t) dt \quad \dots \dots \dots (7)$$

4.5 制御装置の概要

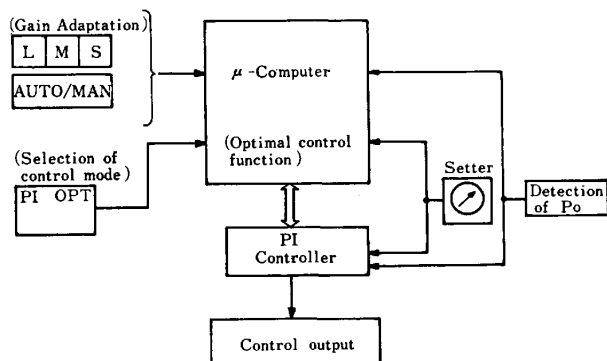
4.1に述べた考え方から制御装置の機能を次のようにした。

(1) PI制御ループに最適制御を付加し、それをシングルループコントローラとマイクロコンピュータにて実行する。

(2) 制御モードには「PI制御」と「PI+最適制御」の二つのモードがあり、オペレータによりいずれの方式にも自由に切り換えられる。また、切り換えは双方向とも無干渉(パンプレス)に行われる。

(3) 最適制御用マイクロコンピュータの故障時には自動的にシングルループコントローラ単独の「PI制御」モードに切り換わる。

(4) ハンチングの自動検出機能を付加し、PI制御ゲインを自動的に変更してハンチングを防止する適応制



PI : PI control
OPT : μ -computer for optimal control
Fig. 6. Configuration of control system.

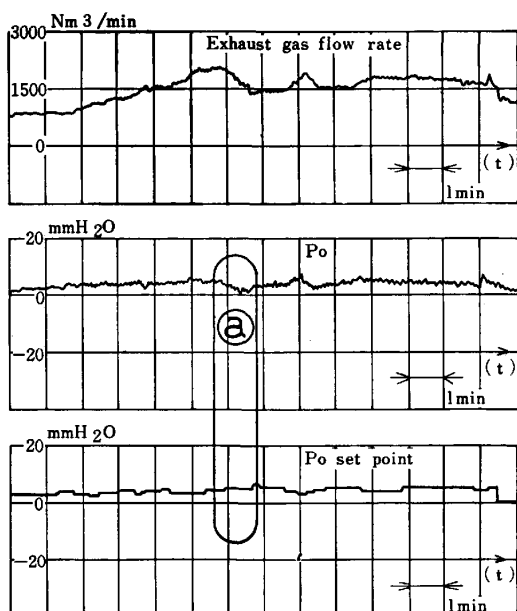


Fig. 7. Application result of PI control method.

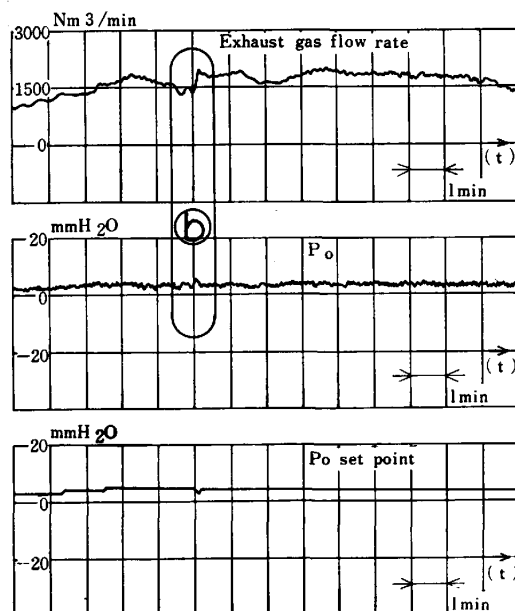


Fig. 8. Application result of optimal control method.

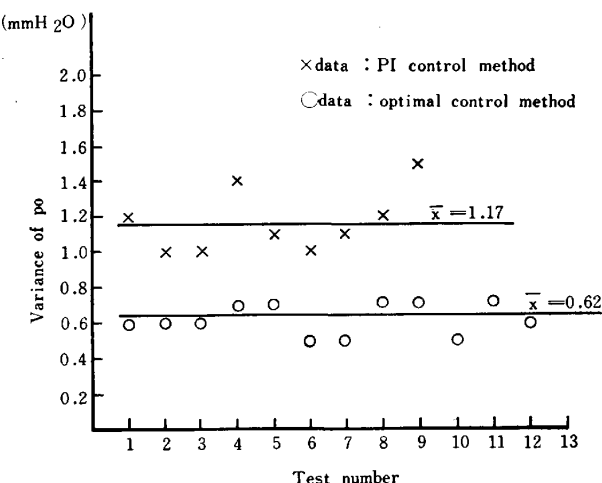


Fig. 9. Variance of P_o by PI control method and optimal control method.

御を採用する。

上記の機能を満足させる本制御システムの構成をFig. 6に示す。

5. 導入の効果

Fig. 7とFig. 8に従来のPI制御と本制御システムによる実操業への適用結果を示す。Fig. 7のPI制御では、排ガス流量の変動に対してオペレータが頻繁に P_o 設定値を変更している。また、④部では P_o 設定値に対して P_o の追従が特に悪い。一方、Fig. 8の本制御システムでは、 P_o 設定値の変更はほとんど行われずに操業されている。⑤部の急激なガス流量の変動に対して

Table 1. Comparison of calculated gas recovery ratio between PI control method and optimal control method.

Item	Control method PI control (method)	Optimal control (method)
Generated CO gas volume (Nm ³)	18823	18823
CO concentration of recovery gas (%)	70.0 (Supposition)	72.1
P _o set point (mmH ₂ O)	Atmospherical (pressure) -2.4	Atmospherical (pressure) -1.2
Inflow air volume (Nm ³)	3852	2273
Combustion CO gas volume (Nm ³)	1618	1144
CO gas volume of blowout and diffusion (Nm ³)	1206	1206
Recovery gas volume (Nm ³)	16000 (Supposition)	16473
Recovery ratio (%)	85.0 (Supposition)	87.5

も、 P_o は良く追従している。そこで、PI 制御と本制御システムの制御性を定量的に比較する意味で、1 チャージ平均の P_o 設定値に対する P_o の分散値をプロットした図を Fig. 9 に示す。その結果、図に示すように制御偏差の 2 乗平均は PI 制御に比べて本制御システムが約半分となり、シミュレーション結果と一致する。これを

用いて CO ガス回収率の向上分を試算すると Table 1 のようになり、2.5% の回収率向上が期待できる。実操業における PI 制御のそれと本制御システムのそれを比べると、約 2.2% の回収率向上であった。これを回収ガス原単位に換算すると 2.34 Nm³/T-S となる。

6. 結 言

最適制御の導入により、OG 設備の P_o 制御は従来の PI 制御の計測点でもつて、制御システムが改善され制御性が向上した。また、各種外乱に対しても本制御システムは良く追従し、オペレータによる P_o 設定値の変更が不要となつた。その結果、当初の目標であつた CO ガス回収率の向上も得られた。今後は、さらに CO ガス回収の向上およびオペレータの省力を目標とする OG 操業の完全自動化の一貫として、排ガス成分・流量の計測値を利用した P_o の自動設定機能を付加する計画を進めている。

文 献

- 1) 西川律一、三宮信夫、板倉秀清、林部秀治、太田徳二、今泉吉弘: 応答面積法を用いた PID オートチューニングの方式、第 22 回日本自動制御学会講演会予稿集 (1978), p. 127
- 2) 成田誠之助: ディジタルシステム制御—理論・応用— (1980) [昭晃堂]